

Physique : DS6

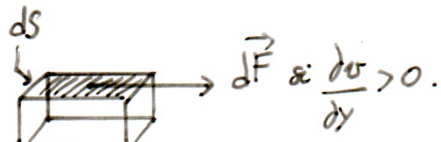
Partie A – Etude de la couche limite (Centrale PC 2011)

① hémimaines

I.A. On suppose que $\vec{v} = v_x(y, t) \vec{u}_x$ d'où la force :

$$\vec{dF} = \eta \frac{\partial v}{\partial y} \Big|_y dS \vec{u}_x$$

en PloPa.s



- des particules situées en $y+dy$ passent en y et amènent leur quantité de mouvement transverse : $mv_x(y+dy) \vec{u}_x$ d'où le transport convectif.
- Le brassage moléculaire est dû à l'agitation thermique.

I.B. Sur un élément de volume dV :

$$\begin{aligned} \vec{dF} &= \vec{dF}_y + \vec{dF}_y \\ &= \eta dS \left(\frac{\partial v}{\partial y} \Big|_{y+dy} - \frac{\partial v}{\partial y} \Big|_y \right) \vec{u}_x \\ &= \eta dS dy \cdot \frac{\partial^2 v}{\partial y^2} \Big|_y \vec{u}_x \\ &= \eta \frac{\partial^2 v}{\partial y^2} \Big|_y dG \vec{u}_x \end{aligned}$$

Si on considère les axes (0_x) et (0_z) : $\vec{dF} = \eta (\vec{D} \vec{v}) dG$ pour un fluide newtonien

I.C.1] En appliquant le PFD: $\frac{D \vec{p}}{Dt} = \sum \vec{dF}$

$$\Leftrightarrow \mu dG \left(\frac{\partial \vec{v}}{\partial t} + (\vec{v} \cdot \vec{\nabla}) \vec{v} \right) = \mu \vec{g} dG + \eta \vec{D} \vec{v} dG - \vec{\nabla} p dG$$

or l'écoulement est incompressible.

D'où pour un fluide newtonien en coulement incompressible :

$$\mu \left(\frac{\partial \vec{v}}{\partial t} + (\vec{v} \cdot \operatorname{grad}) \vec{v} \right) = - \vec{\operatorname{grad}} p + \mu \vec{g} + \eta \vec{\operatorname{D}} \vec{v}$$

I.C.2) Sur \vec{v}_x : $\mu \left(\frac{\partial v_x}{\partial t} + v_x \cdot \frac{\partial}{\partial x} v_x(y, t) \right) = - \frac{\partial p}{\partial x} + 0 + \eta \frac{\partial^2 v_x}{\partial y^2}$

$\underbrace{= 0}_{\text{=0 p ne dépend pas de } x}$

D'où : $\frac{\partial v}{\partial t} = V \frac{\partial^2 v}{\partial y^2}$ où $V = \sqrt{\frac{\eta}{\mu}}$ en $\text{m}^2 \cdot \text{s}^{-1}$

(I.D) La diffusion augmente le désordre du système isolé (on le rendant plus homogène), le manque d'information augmente donc son entropie \Rightarrow évolution inéversible

Exemples d'équations "réversibles" : \Rightarrow D'Alambert $\frac{1}{c^2} \frac{\partial^2 X}{\partial t^2} = \frac{\partial^2 X}{\partial x^2}$

* OH : $\frac{\partial^2 x}{\partial t^2} + \omega_0^2 x = 0$

* On reconnaît une évolution réversible en remplaçant t par "t" celle-ci reste inchangée.

(I.E) Etude en OGS : $\frac{\partial v}{\partial t} \sim \frac{V}{L} \quad , \quad \frac{\partial^2 v}{\partial y^2} \sim \frac{V}{L^2}$ d'où $\frac{V}{L} \sim V \frac{V}{L^2}$
 $\Leftrightarrow L \sim \sqrt{V^2}$

(II) OGS de S
D'après la formule précédente : $S \sim \sqrt{V^2} \sim \sqrt{V \cdot \frac{x_0}{U}}$

or $Re = \mu \frac{U x_0}{\eta} = \frac{U x_0}{V} \quad$ d'où $S = \sqrt{\frac{x_0}{Re} \cdot x_0} \Rightarrow \frac{S}{x_0} = \sqrt{\frac{1}{Re x_0}}$

* D'où $\frac{S}{x_0} \ll 10^{-2} \Rightarrow Re x_0 \gg 10^4$

III Poisuille plan

III.A.1)

a) Cette fois le champ de pression dépend de x, y d'où en régime stationnaire :

$$\begin{cases} 0 = +\eta \frac{\partial^2 V}{\partial y^2} - \frac{\partial P}{\partial x} \\ 0 = -\frac{\partial P}{\partial y} - g \end{cases} \Leftrightarrow \begin{cases} \frac{\partial P}{\partial x} = +\eta \frac{\partial^2 V}{\partial y^2} \\ \frac{\partial P}{\partial y} = -g \end{cases}$$

b) On a $\frac{\partial P}{\partial x} = \eta \frac{\partial^2 V}{\partial y^2} \Leftrightarrow F(x) = G(y)$ par conséquent les 2 fonctions sont égales à une constante d'où : $\frac{\partial P}{\partial x} = k$

c) Donc $\eta \frac{\partial^2 V}{\partial y^2} = k \Leftrightarrow V = \frac{k}{\eta} \frac{y^2}{2} + \alpha y + \beta$.

or $\nu \left(-\frac{d}{2} \right) = \nu \left(\frac{d}{2} \right) = 0 \Leftrightarrow \begin{cases} \frac{k}{\eta} \frac{d^2}{8} + \alpha \frac{d}{2} + \beta = 0 \\ \frac{k}{\eta} \frac{d^2}{8} - \alpha \frac{d}{2} + \beta = 0 \end{cases}$

Donc : $\begin{cases} \alpha = 0 \\ \beta = \frac{k d^2}{\eta} \end{cases} \Rightarrow \vec{V}_x(y) = \frac{k d^2}{8\eta} \left(1 - \frac{4y^2}{d^2} \right) \vec{u}_x$ profil parabolique.

III.A.2) Soit $\Delta p = -KL$ d'où : $DV = \parallel \vec{v} \cdot \vec{S}$

$$\Leftrightarrow DV = -\frac{\Delta p}{L} \cdot \frac{d^2}{8\eta} \int_{-d/2}^{d/2} \left(1 - \frac{4y^2}{d^2} \right) dy dz$$

$$\Leftrightarrow DV = -\frac{\Delta p}{L} \cdot \frac{d^2}{8\eta} \cdot h \cdot \left[y - \frac{4}{3} \frac{y^3}{d^2} \right]_{-d/2}^{d/2} = -\frac{\Delta p \cdot d^2 h}{8\eta L} \left[d - \frac{4}{3} \frac{d^3}{d^2} \right]$$

$$\Leftrightarrow DV = -\frac{\Delta p}{L} \frac{d^3 h}{12 \eta} \quad \left[\text{Cette loi rappelle la loi d'Ohm } i = \frac{V}{R} \text{ d'où } R_h = \frac{12 L \eta}{d^3 h} \right]$$

III.A.3) Si $\Delta p_2 = \frac{\Delta p_1}{2}$ alors $DV_2 = \frac{DV_1}{8}$

• Pour deux tubes identiques d'épaisseur $\frac{d}{2}$ alors $DV = \frac{DV_1}{4}$

• Alors que pour une résistance électrique : $R_C = \frac{l}{8\pi d} \Rightarrow DV = DV_1$.

Conclusion : Pour un écoulement les diminutions de section réduisent considérablement le débit.

III.B) On atteint le régime parabolique lorsque $\delta = \frac{d}{2}$ d'où en utilisant le résultat

$$\text{de la question 11)} : \frac{\delta}{x_1} = \sqrt{\frac{1}{Re}}$$

$$\Leftrightarrow \frac{x_1}{d/2} = \sqrt{Re} \quad \Leftrightarrow \frac{x_1}{d} = \frac{1}{2} \sqrt{Re}$$

IV) Équation du mouvement dans le couche limite

IV.A) L'écoulement est incompressible d'où $\frac{du}{dt} = 0 \Rightarrow \text{div } \vec{v} = 0$

$$\Rightarrow \frac{\partial V_x}{\partial x} + \frac{\partial V_y}{\partial y} = 0$$

IV.B) On est en régime stationnaire d'où :

$$\begin{cases} \mu \left(V_x \frac{\partial V_x}{\partial x} + V_y \frac{\partial V_x}{\partial y} \right) = - \frac{\partial P}{\partial x} + \gamma \Delta \sigma_x \\ \mu \left(V_x \frac{\partial V_y}{\partial x} + V_y \frac{\partial V_y}{\partial y} \right) = - \frac{\partial P}{\partial y} - \mu g + \gamma \Delta \sigma_y \end{cases}$$

IV.C.1) En pos : $\frac{\partial V_x}{\partial x} + \frac{\partial V_y}{\partial y} = 0$ s'écrit : $\frac{V_x}{x_0} + \frac{V_y}{\delta} = 0$

donc : $\frac{V_y}{V_x} + \frac{\delta}{x_0} = 0$ d'où : $\frac{V_y}{V_x} \sim \frac{1}{\sqrt{Re_{x_0}}} \quad \alpha R_{x_0} \gg 1 \Rightarrow \frac{V_y}{V_x} \ll 1$

IV.C.2 Toujours en 006 :

$$\bullet \frac{\partial^2 V_x}{\partial y^2} \sim \frac{N_x}{\delta^2} \quad , \quad \frac{\partial^2 V_x}{\partial x^2} \sim \frac{V_x}{x_0^2} \Rightarrow \frac{\partial^2 V_x}{\partial y^2} / \frac{\partial^2 V_x}{\partial x^2} \sim \frac{x_0^2}{\delta^2} = Re_{x_0} \gg 1$$

$$\Rightarrow \frac{\partial^2 V_x}{\partial y^2} \gg \frac{\partial^2 V_x}{\partial x^2} \quad | \quad (1)$$

$$\bullet \text{ De même : } \frac{\partial^2 V_y}{\partial y^2} \gg \frac{\partial^2 V_y}{\partial x^2} \quad |$$

IV.C.3 Soit $N_y \cdot \frac{\partial V_x}{\partial y} \sim N_y \cdot \frac{V_x}{\delta} \sim \frac{\delta}{x_0} \sim \frac{V_y}{V_x}$ (IV.C.1)

$$\text{D'où : } N_y \cdot \frac{\partial V_x}{\partial y} \sim \frac{N_x}{x_0^2}$$

$$\Rightarrow \frac{N_y \frac{\partial V_x}{\partial y}}{N_x \frac{\partial V_x}{\partial x}} \sim \frac{N_x \frac{\partial V_x}{\partial x}}{x_0^2} \quad |$$

$$\bullet \text{ Et, } N_x \cdot \frac{\partial V_x}{\partial x} \sim \frac{N_x^2}{x_0}$$

$$\bullet \text{ Et: } \nu \cdot \frac{\partial^2 V_x}{\partial y^2} \sim \nu \frac{N_x}{\delta^2} \sim \nu \cdot \frac{Re_{x_0}}{x_0^2} \cdot N_x$$

$$\text{a } Re_{x_0} = \frac{N_x \cdot x_0}{\nu} \Rightarrow \nu \frac{\partial^2 V_x}{\partial y^2} \sim \frac{N_x^2}{x_0}$$

$$\text{D'où : } N_y \cdot \frac{\partial V_x}{\partial y} \sim N_x \frac{\partial V_x}{\partial x} \sim \nu \frac{\partial^2 V_x}{\partial y^2} \quad |$$

IV.C.4 D'où les équations $\mu \left(N_x \frac{\partial V_x}{\partial x} + N_y \frac{\partial V_x}{\partial y} \right) \quad (1) = - \frac{\partial p}{\partial x} + \eta \cdot \frac{\partial^2 V_x}{\partial y^2}$

$$\left. \frac{\partial p}{\partial y} = - \mu g \text{ car on néglige les dérivées partielles de } N_y. \right.$$

IV.D Hors de la couche limite on retrouve l'équation d'Euler stationnaire avec

$$\nu \frac{\partial^2 V_x}{\partial y^2} = 0 \text{ d'où } N_x \frac{\partial V_x}{\partial x} = N_y \frac{\partial V_x}{\partial y} = 0 \quad (IV.C.4)$$

$$\Rightarrow \frac{\partial p}{\partial x} = 0 \text{ en dehors de la couche limite.}$$

D'après l'énoncé on a donc $\frac{\partial p}{\partial x} = 0$ dans la couche limite d'où :

$$N_x \frac{\partial V_x}{\partial x} + N_y \frac{\partial V_x}{\partial y} = \nu \cdot \frac{\partial^2 V_x}{\partial y^2} \text{ où } \nu = \eta / \mu \quad |$$

Partie B – Toboggan (CCP-TSI-2025)

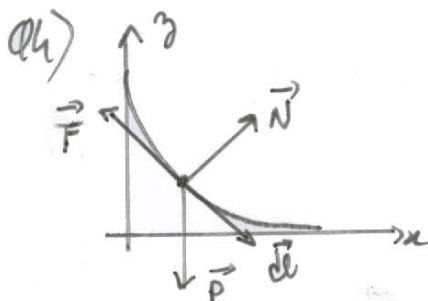
Q1) Or $\vec{W}_P = \int_A^B \vec{F} \cdot d\vec{M} = \int_{z_A}^{z_B} mg dz = -mg(z_B - z_A)$
 $\Rightarrow \vec{N}_P = mg [H - h]$

Q2) Théorie de l'Ec: $\Delta E_C = \vec{W}_{F,ext}$

Sans frottement: $\Delta E_C = mg(H - h)$

$$\Rightarrow N_B^2 = 2g(H - h) \text{ d'où } N_B = \sqrt{2g(H - h)}$$

Q3) A. N : $N_B = 20 \text{ m/s}$



Q5) Soit $\vec{W}_F + \vec{W}_P = \Delta E_C \Leftrightarrow \frac{1}{2}mv_B^2 = mg(H - h) + \vec{W}_F$
 $\Leftrightarrow \vec{W}_F = \frac{1}{2}mv_B^2 - mg(H - h) = -4500 \text{ J}$

Q6) Or $\vec{W}_F = \int_A^B \vec{F} \cdot d\vec{l} = -FL$ si $F = \text{cste}$
 $\Rightarrow F = -\frac{\vec{W}_F}{L} = -\left(\frac{-4500}{37,5}\right) = 200 \text{ W}$

Q7)

Q8) À la sortie du toboggan: $m\vec{a} = \vec{P}$ donc $\begin{cases} \ddot{x} = 0 \\ \ddot{z} = -g \end{cases} \Rightarrow \begin{cases} x = v_B t \\ z = -\frac{1}{2}gt^2 \end{cases}$

Donc $y(x) = -\frac{1}{2} \frac{g}{v_B^2} x^2 \Rightarrow d = \sqrt{\frac{2v_B^2 h}{g}} = 4,5 \text{ m}$

Q9) Sur Ox: $F_x = -kx$ (\vec{P} et \vec{F} sont sur \vec{v}_z) donc $\frac{dv_x}{dt} + \frac{k}{m} v_x = 0$

$$Q10) \text{ On pose } \frac{m}{k} = \gamma \Rightarrow \dot{v}_x + v_x/\gamma = 0$$

$$Q11) \text{ Si } v_x(0) = 0 \text{ alors } v_x(t) = N_B e^{-t/\gamma}$$

$$Q12) \text{ Pour } t = \gamma, v_x(\gamma) = \frac{N_B}{e} \approx 0,37 N_B. \text{ Par lecture graphique : } \gamma = 0,25 \text{ s}$$

$$\text{donc } \frac{k = m/\gamma}{\gamma} = \frac{50}{0,25} = 200 \text{ kg.s}^{-1}$$

$$Q13) \text{ On intègre } v_x(t) : x(t) = -\gamma N_B e^{-t/\gamma} + \text{cste}$$

$$\text{si } x(0) = 0 \text{ alors } x(t) = N_B \gamma (1 - e^{-t/\gamma})$$

$$\text{Donc M s'ancre si } t \rightarrow \infty \text{ pour } x(\infty) = d' = N_B \gamma = 2,5 \text{ m}$$

à partir de B il aura parcouru $D = d + d' = 7 \text{ m}$. On peut choisir une distance de sécurité de 10m par exemple.

$$Q14) \text{ Fluides parfaits et écoulement incompressible, stationnaire (parfait) pour un fluide homogène le long d'une lde : } \frac{P}{\mu} + gz + \frac{v^2}{2} = \text{cste}$$

$$Q15) \text{ Ecoulement stationnaire et incompressible : } Dv = Sv = \text{cste}$$

$$\text{or } S = \text{cste} \Rightarrow v = \text{cste} \text{ donc } N_D = N_F$$

$$Q16) \text{ Soit } v = \frac{Dv}{S} = \frac{3,6 \cdot 10^4 \cdot 10^{-3}}{3600 \times 5 \times 10^{-3}} = 2 \text{ ms}^{-1}$$

$$Q17) \text{ Bernoulli entre D et F : } \frac{v^2}{2} + gz_F + \frac{P_F}{\mu} = \frac{v^2}{2} + gz_D + \frac{P_D}{\mu} \Rightarrow P_F = P_D - \rho g L_2$$

$$= 3,0 \text{ bar}$$

$$Q18) \text{ En théorie } P_0 = 5,5 \text{ bar}$$

$$\text{à cause des pertes : } P_0 = 5,2 \text{ bar} \text{ donc } \frac{\Delta P_{\text{per}}}{L_1} = \frac{0,3}{30} = 0,01 \text{ bar/m}$$

$$\text{donc } \Delta P_{\text{eff}} = 0,01 \times L_1 = 0,125 \text{ bar}$$

$$\text{Donc } P_F = P_0 - \Delta P_{\text{per}} - \Delta P_{\text{eff}} = 5,2 - 0,3 - 0,125 = 4,775 \text{ bar}$$

Q19) Analyse dimensionnelle

$$\begin{aligned}
 \bullet \quad [\text{Dv}][\text{P}] &= \text{m}^3/\text{s} \cdot \text{Pa} \\
 &= \text{m}^3/\text{s} \cdot \frac{\text{N}}{\text{m}^2} \quad \text{car } dF = pdS \\
 &= \text{m/s} \cdot \text{N} \\
 &= \text{m/s} \cdot \frac{\text{J}}{\text{m}} \quad \text{car } SW = \vec{F} \cdot \vec{d} \\
 &= \text{J/s} \\
 &= \underline{\text{Watt}}
 \end{aligned}$$

Q20) A l'aide d'un bilan d'énergie mécanique entre C et E :

$$\text{Dm} \left[\frac{v^2}{2} + gz \right]_C^E = P_{\text{pression}} + P_{\text{autre}}$$

$$\begin{aligned}
 \Leftrightarrow \text{Dm} \left[\frac{v^2}{2} + gz + \frac{P}{\rho} \right]_C^E &= P_{\text{autre}} \\
 &= P_{\text{u}} - P_{\text{pertes}}.
 \end{aligned}$$

$$\begin{aligned}
 \text{Donc } P_{\text{u}} &= \text{Dm} \left[\frac{v^2}{2} + gz + \frac{P}{\rho} \right]_C^E + \underbrace{P_{\text{pertes}}}_{= DV \Delta P_{\text{pertes}}}
 \end{aligned}$$

$$\text{Donc } P_{\text{u}} = DV \left[\frac{\rho v^2}{2} - \frac{\rho v^2}{2} + (\rho g L_2 - p) + f_0 \cdot f_0 + \Delta P_{\text{pertes}} \right]$$

$$\Leftrightarrow P_{\text{u}} = DV \left[\rho g (L_2 - p) + \Delta P_{\text{pertes}} \right]$$

$$\text{Q21) A.N : } P_{\text{u}} = \frac{36 \cdot 10^3}{3600} \left(1000 \times 10 \times 24 + 2 \cdot 10^5 \right) = \underline{41,6 \text{ kW}}$$

$$\text{Q22) Si } \text{t.p.} = \frac{P_{\text{u}}}{\eta} = \underline{7,3 \text{ kW}}$$

$$\text{Q23) Si } \text{HMT} = \frac{P_{\text{u}}}{\rho DV g} = \frac{41,6 \cdot 10^3}{1000 \times 10 \times 0,01} = \underline{44 \text{ mCE}}$$

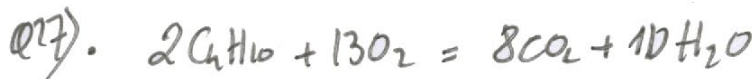
Q24) Pour $DV = 36 \text{ m}^3/\text{h}$ et $\text{HMT} = 44 \text{ mCE}$ la pompe diamètre 180mm correspond parfaitement à la portion de son pt de fonctionnement.

Q25) Sur le graphique le rendement est de 60%, alors que le meilleur rendement est de 78,1%
 \hookrightarrow ce n'est pas un rendement optimal

Q26) PP appliquée

$$\Delta U = W + Q \text{ où } W = 0 \text{ et } Q = P \Delta t$$

$$\Rightarrow \rho V_{\text{cav}} (\theta_f - \theta_i) = P \Delta t \Leftrightarrow \Delta t = \frac{\rho V_{\text{cav}} (\theta_f - \theta_i)}{P} = 50400 \text{ s} = \underline{14 \text{ h}}$$



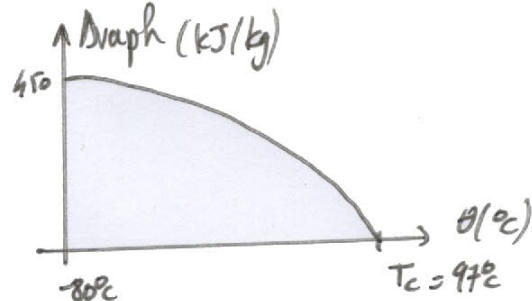
Q28) Soit $P = D_m \cdot \rho_C \Leftrightarrow D_m = \frac{P}{\rho_C} = \underline{2 \text{ g/s}} = \underline{120 \text{ g/min}}$

Q29) D'après l'équation le débit molaire est $t \cdot q \cdot D_m (\text{C}_6\text{H}_{10}) = \frac{D_m (\text{CO}_2)}{4} \text{ mol/s}$

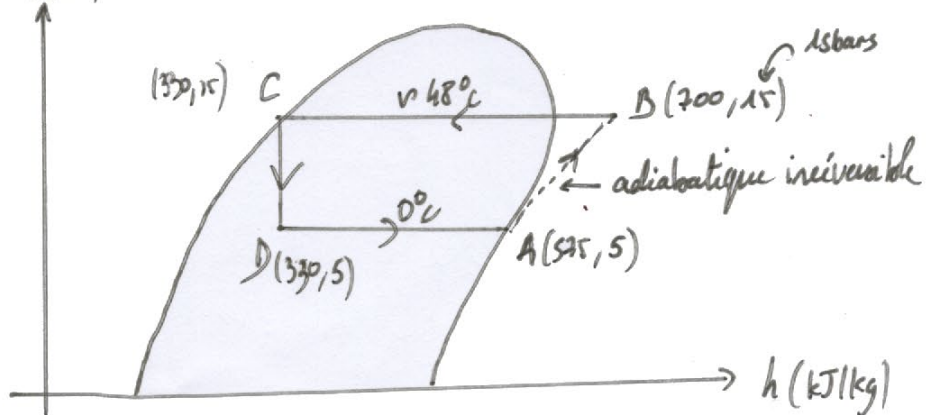
$$\Rightarrow D_m (\text{O}_2) = 4 D_m (\text{C}_6\text{H}_{10}) \cdot \frac{\text{kg/s}}{\frac{M(\text{CO}_2)}{M(\text{C}_6\text{H}_{10})}} = \underline{350 \text{ g/min}}$$

Q30) D'après le document à 0°C : $\Delta u_{\text{aph}} = 580 - 200 = \underline{380 \text{ kJ/kg}}$

Q31) D'après le graphique jusqu'au point critique on remarque :



Q32)



Q33) En 1) on a un mélange liquide-vapeur où on lit $x_g = 0,33$

Q34) PDI : $W_{AB} + q_{AB} = h_B - h_A$

$$\text{adiabatique} \Rightarrow W_{AB} = h_B - h_A = 125 \text{ kJ/kg}$$

Q35) De même $q_{cond} = h_C - h_B = -370 \text{ kJ/kg}$

Q36) Par définition : $\varepsilon = - \frac{q_{cond}}{W_{AB}} = - \frac{370}{125} \approx 3,0 = \varepsilon$

Q37) Soit $P = D_m / q_{cond}$ $\Rightarrow D_m = \frac{P}{|q_{cond}|} = \frac{100 \cdot 10^3}{370 \cdot 10^3} \approx 0,3 \text{ kg/s}$

Q38) Soit $P_m = \frac{P}{\varepsilon} = 33 \text{ kW}$

Q39) C'est un ALi monté en inverseur : $\Rightarrow u_1 = - \frac{R_{ot}}{R_1} E = - \frac{R_o}{R_1} (1 + \alpha \theta) E = u_1$

Q40) Il faut que $u_1 < V_{sat}$

• isolée < U_{sat}

• fréquence pas trop élevée (surr-résonance à éviter)

Q41) $s = \left| \frac{du_1}{d\theta} \right| = \left| - \frac{R_o \alpha}{R_1} E \right| = \frac{R_o \alpha}{R} E = s$

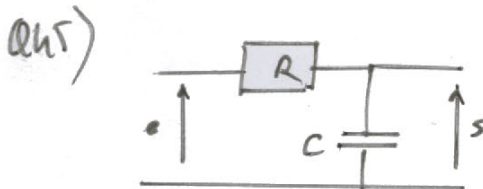
Q42) $\Rightarrow s = 3,85 \cdot 10^{-3} \text{ V/}^\circ\text{C}$

Q43) de température la peu varie $\Delta \theta = 6^\circ\text{C} \Rightarrow \Delta u_1 = 20 \text{ mV}$

c'est trop faible pour avoir un relevé précis

Q44) C'est le graphique d avec un pic à 0Hz et un à 50Hz.

- b) $\begin{cases} 1 \text{ n'a pas de composante continue} \\ 3 \text{ a trois de composantes} \\ 4 \text{ ce n'est pas un spectre} \end{cases}$



En BF: $Z_C = \frac{1}{j\omega C} \rightarrow +\infty$ d'où $s = e$

En HF: $Z_C \rightarrow 0$ d'où $s = 0$

$\left. \begin{array}{l} \\ \end{array} \right\}$ C'est bien un passe-bas.

Q46) H_0 : gain statique où ici $H = \frac{1/j\omega C}{R + 1/j\omega C} = \frac{1}{1 + jRC\omega} \Rightarrow H_0 = 1$

Q47) Or $G_{dB} = 20 \log H$ où $H_{BF} = 1$

$\hookrightarrow G_{dB} = 0$ à BF

Q48) La fréquence de coupure à $-3dB$ est t.q $H(f_c) = \frac{H_{max}}{\sqrt{2}}$

ou $G_{dB}(f_c) = G_{max} - 3dB$

Si $\omega_c = \frac{1}{RC} \rightarrow f_c = \frac{1}{2\pi RC}$

Q49) Si $f_c = 0,5Hz$ alors $M_s = \sum_i H(f_i) M_c(f_i) = H(s_0) \underbrace{\times 3 \cos(2\pi 50t)}_{\text{no}} + H_0 \times 2$
 $\rightarrow M_s \sim 2V$

\hookrightarrow On n'aura bien la composante continue débarrassée des parasites.